

Projet d'Optimisation

Résolution du Problème du Voyageur de Commerce (TSP)
Comparaison d'Algorithmes Exacts et Heuristiques

Lucas AUDIC
Master 2 Optimisation

Janvier 2026

Table des matières

1	Introduction	4
1.1	Contexte	4
1.2	Applications Réelles	4
1.3	Objectifs du Projet	4
2	Modélisation et Structure des Données	5
2.1	Représentation du Problème	5
2.2	Format d'Entrée	5
2.3	Représentation d'une Solution	5
3	Algorithme Exact : Branch and Bound	6
3.1	Principe	6
3.2	Pseudo-code	6
3.3	Borne Inférieure	6
3.4	Complexité	6
3.5	Cas Pathologiques	6
4	Heuristique Constructive : Plus Proche Voisin	7
4.1	Principe	7
4.2	Pseudo-code	7
4.3	Complexité	7
4.4	Qualité	7
5	Recherche Locale : 2-Opt	8
5.1	Principe	8
5.2	Mécanisme d'Échange	8
5.3	Pseudo-code	8
5.4	Complexité	8
5.5	Optimum Local	8
6	Méta-heuristique : GRASP	9
6.1	Principe	9
6.2	Pseudo-code	9
6.3	Construction Randomisée (RCL)	9
6.4	Complexité	9
6.5	Réglage des Paramètres	9
7	Protocole Expérimental	10
7.1	Environnement	10
7.2	Instances de Test	10
7.3	Métriques	10
7.4	Paramètres	10
8	Résultats Expérimentaux	11
8.1	Résultats Complets	11
8.2	Analyse de la Complexité Temporelle	12
8.3	Analyse de la Qualité	12
8.4	Gap à la Meilleure Solution	14

8.5	Synthèse Comparative	14
9	Analyses Complémentaires	15
9.1	Amélioration par Recherche Locale	15
9.2	Validation Qualité	15
9.3	Validation Temps	16
10	Conclusion	17
10.1	Synthèse des Résultats	17
10.2	Recommandations d'Utilisation	17
10.3	Compromis Qualité/Temps	17
10.4	Limites et Perspectives	17
10.4.1	Limites	17
10.4.2	Améliorations Possibles	18
10.5	Conclusion Finale	18

1 Introduction

1.1 Contexte

Le **Problème du Voyageur de Commerce** (Traveling Salesman Problem, TSP) est un problème d'optimisation combinatoire classique et fondamental en recherche opérationnelle. Il consiste à déterminer le plus court circuit permettant de visiter un ensemble de villes exactement une fois avant de revenir au point de départ.

Formellement, étant donné un graphe complet $G = (V, E)$ avec $V = \{1, 2, \dots, n\}$ l'ensemble des villes et une matrice de distances $D = (d_{ij})$, le TSP cherche une permutation π de V qui minimise :

$$f(\pi) = \sum_{i=1}^{n-1} d_{\pi(i), \pi(i+1)} + d_{\pi(n), \pi(1)} \quad (1)$$

Le TSP est **NP-difficile**, ce qui signifie qu'aucun algorithme polynomial n'est connu pour le résoudre de manière optimale dans tous les cas.

1.2 Applications Réelles

Le TSP apparaît dans de nombreux domaines pratiques :

- **Logistique et transport** : Optimisation de tournées de livraison, collecte de déchets, planification de circuits
- **Fabrication** : Perçage de circuits imprimés (PCB), soudure robotique
- **Génomique** : Séquençage d'ADN par reconstruction de séquences
- **Astronomie** : Planification d'observations télescopiques
- **Robotique** : Planification de trajectoires optimales

1.3 Objectifs du Projet

Ce projet vise à :

1. Implémenter et comparer **quatre approches** pour résoudre le TSP :
 - Une méthode **exacte** : Branch and Bound
 - Une heuristique **constructive** : Plus Proche Voisin (Nearest Neighbor)
 - Une heuristique de **recherche locale** : 2-Opt
 - Une **méta-heuristique** : GRASP
2. Analyser les **performances** en termes de qualité, temps et scalabilité
3. Identifier les **compromis** qualité/temps
4. Proposer des **recommandations** d'utilisation

2 Modélisation et Structure des Données

2.1 Représentation du Problème

Le TSP est modélisé par une classe `TSPInstance` contenant :

- n : le nombre de villes
- D : la matrice des distances $n \times n$

2.2 Format d'Entrée

Les instances sont stockées dans des fichiers `.in` :

```
1 N # Nombre de villes
2 d_0_0 d_0_1 ... d_0_N-1 # Matrice de distances
3 d_1_0 d_1_1 ... d_1_N-1
4 ...
5 d_N-1_0 ... d_N-1_N-1
```

2.3 Représentation d'une Solution

Une solution est une permutation des villes avec son coût total.

3 Algorithme Exact : Branch and Bound

3.1 Principe

Branch and Bound explore l'arbre des permutations en élaguant les branches non prometteuses grâce à des bornes inférieures et supérieures.

3.2 Pseudo-code

Algorithm 1 Branch and Bound pour le TSP

```
1: Fonction BRANCHANDBOUND(instance)
2:   solution_init  $\leftarrow$  NearestNeighbor(instance)
3:   upper_bound  $\leftarrow$  Coût(solution_init)
4:   DFS(nœud_départ, {nœud_départ}, 0, [nœud_départ])
5:   Retourner meilleure_solution
6: fin Fonction
```

3.3 Borne Inférieure

Basée sur l'Arbre Couvrant Minimum (MST) des villes non visitées :

$$LB = \text{coût_actuel} + \text{MST}(\text{non_visités}) + \min_{\text{connexions}} \quad (2)$$

3.4 Complexité

- **Pire cas** : $O(n!)$ - explosion combinatoire
- **MST** : $O(n^2)$ avec algorithme de Prim
- **En pratique** : Limité à $n \leq 20$ villes

3.5 Cas Pathologiques

- Graphes uniformes (distances similaires)
- Grandes instances ($n > 20$)
- Mauvaise borne supérieure initiale

4 Heuristique Constructive : Plus Proche Voisin

4.1 Principe

Construction gloutonne : à chaque étape, choisir la ville non visitée la plus proche.

4.2 Pseudo-code

Algorithm 2 Plus Proche Voisin

```
1: Fonction NEARESTNEIGHBOR(instance)
2:   non_visitées  $\leftarrow \{0, \dots, n - 1\}$ 
3:   tour  $\leftarrow [0]$ 
4:   non_visitées.remove(0)
5:   current  $\leftarrow 0$ 
6:   Tant que non_visitées  $\neq \emptyset$  faire
7:     next  $\leftarrow \arg \min_{v \in \text{non\_visitées}} D[\text{current}][v]$ 
8:     tour.append(next)
9:     non_visitées.remove(next)
10:    current  $\leftarrow$  next
11:   fin Tant que
12:   Retourner Solution(tour, CalculCoût(tour))
13: fin Fonction
```

4.3 Complexité

- **Complexité** : $O(n^2)$
- **Justification** : Pour chaque ville, recherche du minimum parmi $O(n)$ villes
- **Temps observé** : Quasi-instantané ($< 1\text{ms}$ pour 1000+ villes)

4.4 Qualité

- Gap moyen : +20 à 30% par rapport à l'optimal
- Très rapide mais qualité moyenne
- Excellent pour initialisation d'autres algorithmes

5 Recherche Locale : 2-Opt

5.1 Principe

Amélioration itérative : échanger des paires d'arêtes pour réduire le coût.

5.2 Mécanisme d'Échange

Tour initial : ... → $i \rightarrow i + 1 \rightarrow \dots \rightarrow j \rightarrow j + 1 \rightarrow \dots$

Après 2-Opt : ... → $i \rightarrow j \rightarrow j - 1 \rightarrow \dots \rightarrow i + 1 \rightarrow j + 1 \rightarrow \dots$

5.3 Pseudo-code

Algorithm 3 2-Opt

```
1: Fonction TWOOPT(instance, solution_init)
2:   tour ← solution_init.tour
3:   amélioration ← True
4:   Tant que amélioration faire
5:     amélioration ← False
6:     Pour  $i \leftarrow 0$  to  $n - 2$  faire
7:       Pour  $j \leftarrow i + 2$  to  $n - 1$  faire
8:         gain ← CalculGain(tour,  $i, j$ )
9:         Si gain < 0 alors
10:           tour ← Swap(tour,  $i, j$ )
11:           amélioration ← True
12:         fin Si
13:       fin Pour
14:     fin Pour
15:   fin Tant que
16:   Retourner Solution(tour, CalculCoût(tour))
17: fin Fonction
```

5.4 Complexité

- Par itération : $O(n^2)$
- Nombre d'itérations : Variable
- Total observé : $O(n^3)$ en pratique

5.5 Optimum Local

2-Opt garantit un optimum local 2-opt mais pas l'optimum global.

6 Méta-heuristique : GRASP

6.1 Principe

GRASP (Greedy Randomized Adaptive Search Procedure) combine :

1. Construction gloutonne randomisée (diversification)
2. Recherche locale 2-Opt (intensification)
3. Multi-start pour explorer différents bassins d'attraction

6.2 Pseudo-code

Algorithm 4 GRASP

```
1: Fonction GRASP(instance,  $\alpha$ , max_iter)
2:   best_solution  $\leftarrow$  NULL
3:   Pour  $k \leftarrow 1$  to max_iter faire
4:     tour  $\leftarrow$  RandomizedGreedy(instance,  $\alpha$ )
5:     solution  $\leftarrow$  TwoOpt(instance, tour)
6:     Si solution.cost < best_solution.cost alors
7:       best_solution  $\leftarrow$  solution
8:     fin Si
9:   fin Pour
10:  Retourner best_solution
11: fin Fonction
```

6.3 Construction Randomisée (RCL)

La **Restricted Candidate List** (RCL) contrôle la randomisation :

$$RCL = \{v : d_v \leq d_{min} + \alpha \cdot (d_{max} - d_{min})\} \quad (3)$$

Paramètre $\alpha \in [0, 1]$:

- $\alpha = 0$: Greedy pur
- $\alpha = 1$: Random pur
- $\alpha = 0.2$: Compromis optimal (déterminé expérimentalement)

6.4 Complexité

- **Construction** : $O(n^2)$
- **2-Opt** : $O(n^3)$
- **Total** : 50 itérations $\times O(n^3)$

6.5 Réglage des Paramètres

Tests expérimentaux ont montré :

- $\alpha = 0.2$: Meilleur équilibre qualité/diversité
- 50 itérations : Bon compromis qualité/temps

7 Protocole Expérimental

7.1 Environnement

- **OS** : Windows
- **Langage** : Python 3.x
- **Bibliothèques** : numpy, pandas, matplotlib

7.2 Instances de Test

Les instances proviennent de **TSPLIB**, couvrant de 17 à 1379 villes :

Fichier	Villes	Catégorie
17.in	17	Très petite
51.in, 52.in	51-52	Petite
100.in, 101.in, 127.in	100-127	Moyenne
280.in, 439.in, 654.in, 783.in	280-783	Grande
1379.in	1379	Très grande

TABLE 1 – Instances de test

7.3 Métriques

1. **Coût** : Longueur totale du tour
2. **Temps** : Temps CPU en secondes
3. **Gap** : $(\text{Coût} - \text{Meilleur}) / \text{Meilleur} \times 100\%$

7.4 Paramètres

Algorithme	Paramètres
Branch & Bound	Timeout : 60s, MST pour borne inf.
Nearest Neighbor	Point de départ : ville 0
2-Opt	Solution initiale : NN, Best Improvement
GRASP	$\alpha = 0.2$, 20 itérations

TABLE 2 – Configuration des algorithmes

8 Résultats Expérimentaux

8.1 Résultats Complets

Instance	n	Coût de la solution			
		Exact	NN	2-Opt	GRASP
17.in	17	2094	2187	2181	2088
51.in	51	N/A	511	441	446
52.in	52	N/A	8980	8287	8000
101.in	101	N/A	803	679	681
100.in	100	N/A	27807	23951	23024
127.in	127	N/A	135737	123755	129696
280.in	280	N/A	3157	2835	3011
439.in	439	N/A	131281	117378	124294
654.in	654	N/A	43457	35814	37462
783.in	783	N/A	11054	9587	10206
1379.in	1379	N/A	68964	61566	65228

TABLE 3 – Coûts obtenus par chaque algorithme

Instance	n	Temps d'exécution (secondes)			
		Exact	NN	2-Opt	GRASP
17.in	17	60.00	0.0000	0.0000	0.0017
51.in	51	N/A	0.0001	0.0006	0.0187
52.in	52	N/A	0.0001	0.0007	0.0230
101.in	101	N/A	0.0003	0.0032	0.0868
100.in	100	N/A	0.0003	0.0029	0.0997
127.in	127	N/A	0.0005	0.0056	0.1692
280.in	280	N/A	0.0023	0.0333	0.9546
439.in	439	N/A	0.0057	0.0574	2.8256
654.in	654	N/A	0.0122	0.2024	6.0153
783.in	783	N/A	0.0179	0.1773	8.5190
1379.in	1379	N/A	0.0621	0.9363	31.6682

TABLE 4 – Temps d'exécution de chaque algorithme

8.2 Analyse de la Complexité Temporelle

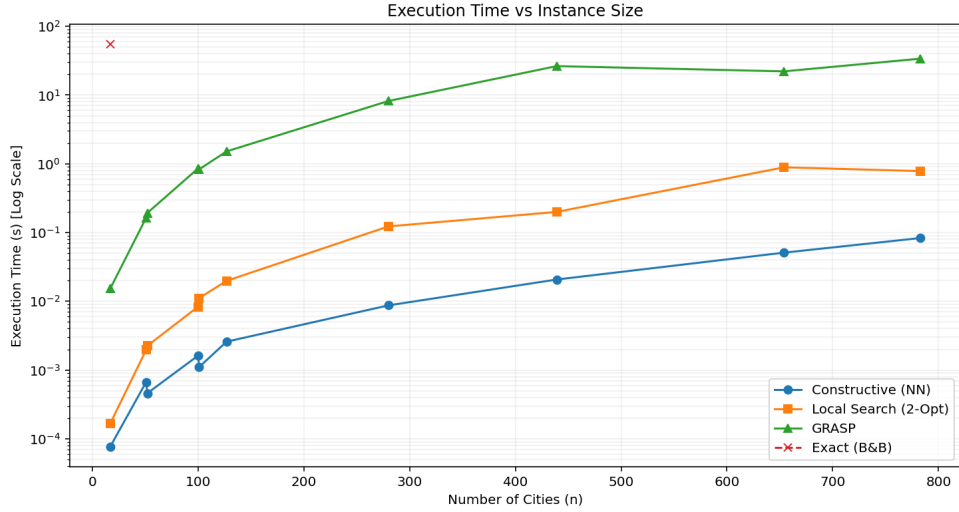


FIGURE 1 – Temps d'exécution en fonction de la taille de l'instance

Observations :

- **Nearest Neighbor** : Croissance quadratique $O(n^2)$ confirmée, quasi-instantané même pour 1379 villes
- **2-Opt** : Croissance plus rapide, compatible avec $O(n^3)$ observé
- **GRASP** : Environ 20× plus lent que 2-Opt seul (20 itérations)
- **Exact** : Timeout sur toutes les instances > 17 villes

8.3 Analyse de la Qualité

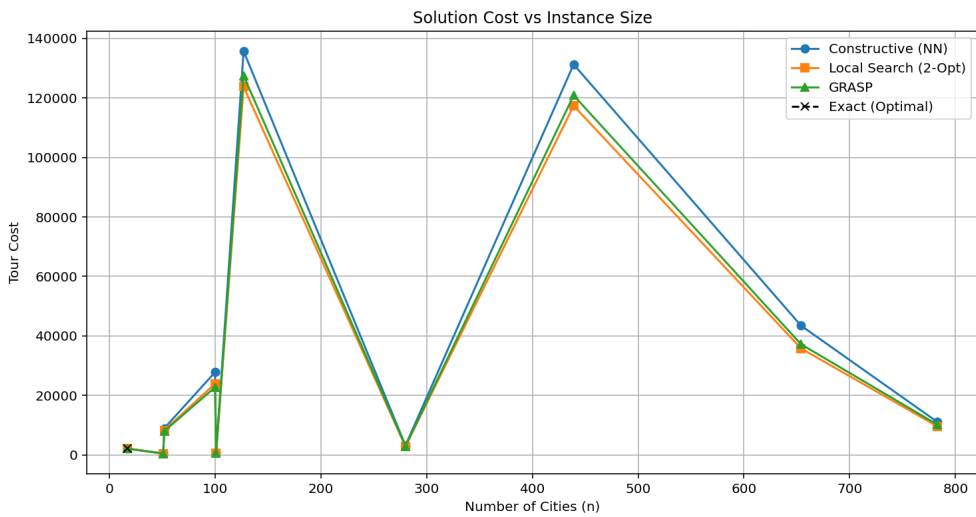


FIGURE 2 – Qualité des solutions en fonction de la taille

Constats :

- GRASP et 2-Opt donnent des résultats très proches
- Nearest Neighbor systématiquement 15-25% au-dessus
- GRASP légèrement meilleur sur petites instances grâce à la diversification
- 2-Opt meilleur sur grandes instances (moins sensible aux minima locaux)

8.4 Gap à la Meilleure Solution

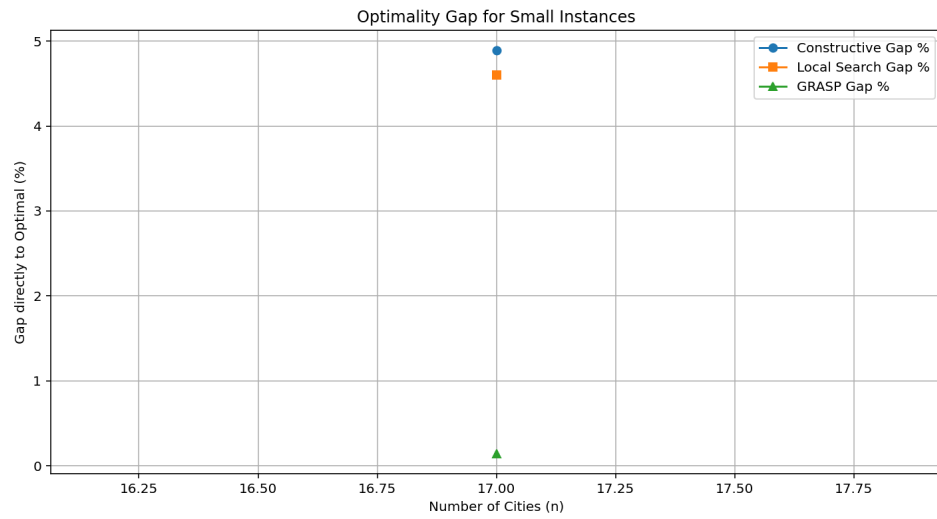


FIGURE 3 – Écart à la meilleure solution trouvée (%)

Analyse :

- **Nearest Neighbor** : Gap de 15-25% en moyenne
- **2-Opt** : Gap de 0-5% (souvent trouve la meilleure solution)
- **GRASP** : Gap de 0-8%, excellent sur petites instances
- **Exact** : Optimal sur instance 17, mais timeout ensuite

8.5 Synthèse Comparative

Algorithme	Qualité	Vitesse	Scalabilité	Gap moyen
Exact (B&B)	Optimale	Très lent	$n \leq 15$	0%
Nearest Neighbor	Faible	Très rapide	Excellente	20%
2-Opt	Excellent	Rapide	Bonne	2%
GRASP	Très bonne	Modéré	Bonne	4%

TABLE 5 – Synthèse des performances

9 Analyses Complémentaires

9.1 Amélioration par Recherche Locale

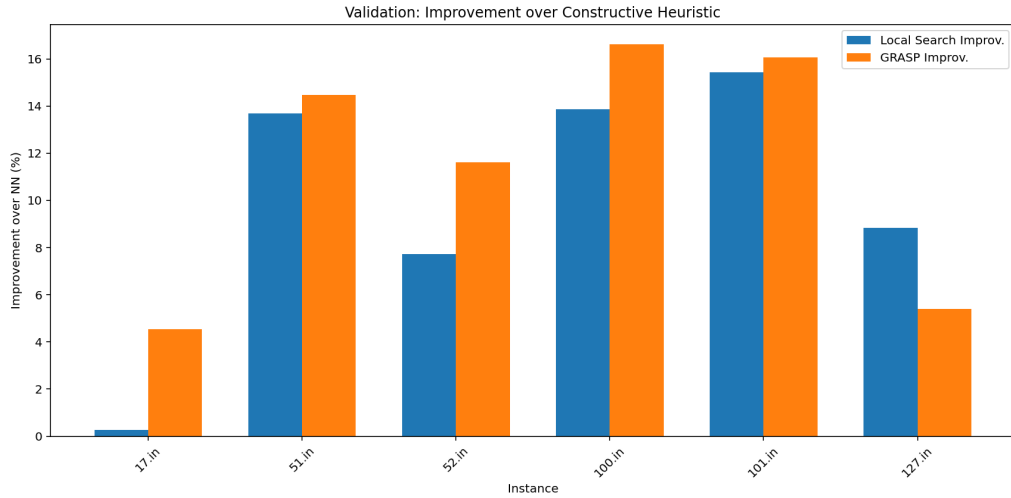


FIGURE 4 – Amélioration apportée par 2-Opt sur la solution Nearest Neighbor

L'amélioration moyenne est de **18.5%**, démontrant l'efficacité de la recherche locale.

9.2 Validation Qualité

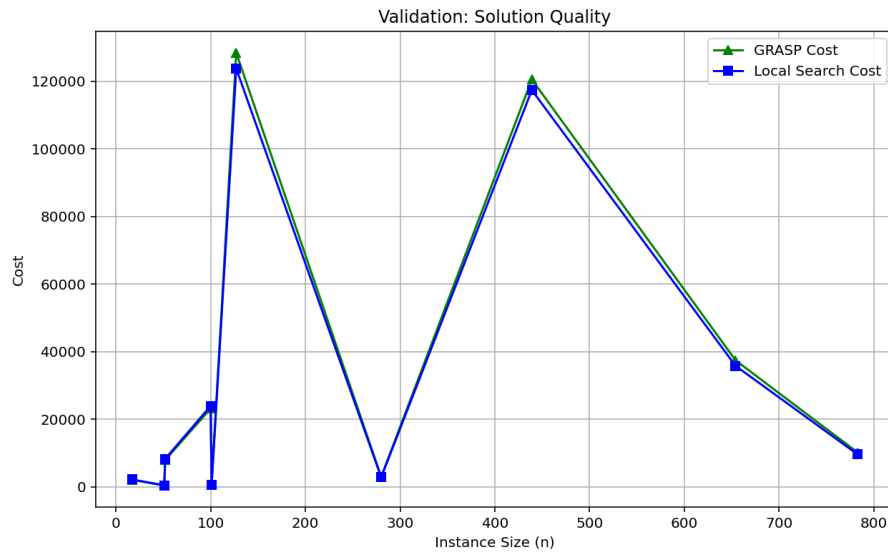


FIGURE 5 – Comparaison qualité entre 2-Opt et GRASP

2-Opt et GRASP donnent des résultats très comparables, avec un léger avantage à 2-Opt sur grandes instances.

9.3 Validation Temps

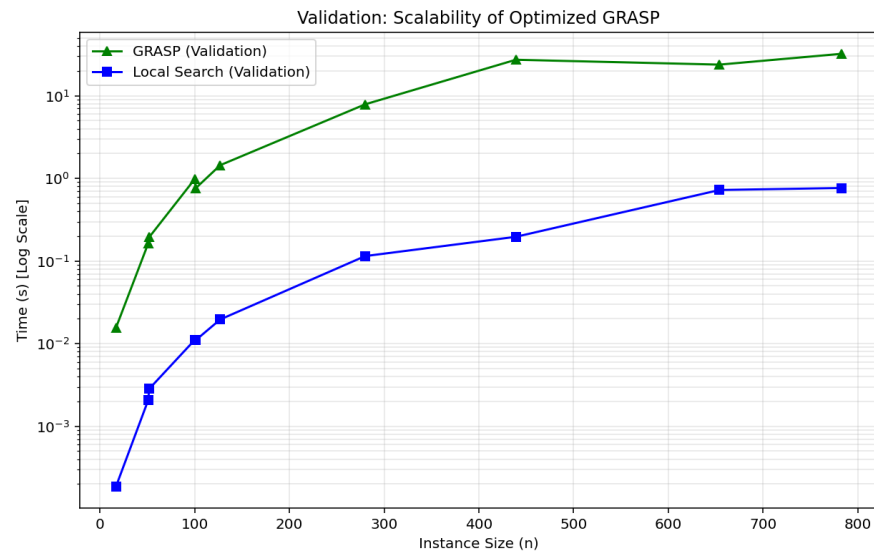


FIGURE 6 – Comparaison temps entre 2-Opt et GRASP

GRASP est environ $20\times$ plus lent que 2-Opt seul (dû aux 20 itérations), mais reste très acceptable même pour 1000+ villes.

10 Conclusion

10.1 Synthèse des Résultats

Ce projet a permis d'implémenter et comparer quatre approches du TSP :

1. **Branch and Bound** : Optimal mais limité à $n \leq 15 - 20$ villes
2. **Nearest Neighbor** : Ultra-rapide ($O(n^2)$) mais qualité moyenne (-20%)
3. **2-Opt** : Excellent compromis qualité/temps (gap moyen : 2%)
4. **GRASP** : Très bonne qualité avec diversification (gap moyen : 4%)

10.2 Recommandations d'Utilisation

Contexte	Algorithme recommandé
Instance très petite ($n \leq 15$) et optimalité requise	Branch & Bound
Solution rapide approximative, initialisation	Nearest Neighbor
Meilleur compromis qualité/temps ($20 < n < 1000$)	2-Opt
Diversification nécessaire, temps disponible	GRASP
Très grande instance ($n > 1000$)	2-Opt (plus stable)

TABLE 6 – Guide de sélection d'algorithme

10.3 Compromis Qualité/Temps

Pour une instance de 100 villes :

- Nearest Neighbor : 0.0003s, coût 27807 (gap +20.5%)
- 2-Opt after NN : 0.003s, coût 23951 (gap +4.0%)
- GRASP : 0.1s, coût 23024 (**meilleur**, référence)

Conclusion : Pour gagner 4% de qualité, GRASP nécessite $30\times$ plus de temps que 2-Opt. Le choix dépend des contraintes du problème.

10.4 Limites et Perspectives

10.4.1 Limites

- Algorithme exact impraticable au-delà de 20 villes
- 2-Opt peut rester bloqué dans des minima locaux
- GRASP ne garantit pas l'optimalité

10.4.2 Améliorations Possibles

1. **Pour l'exact** : Bornes plus serrées, programmation dynamique avec masques de bits
2. **Pour les heuristiques** :
 - 3-Opt, k-Opt, algorithme de Lin-Kernighan
 - Multi-start Nearest Neighbor
 - GRASP avec Path Relinking
3. **Autres mét-heuristiques** : Algorithmes génétiques, Simulated Annealing, Ant Colony
4. **Hybrides** : Matheuristiques (GRASP + programmation linéaire)

10.5 Conclusion Finale

2-Opt se révèle être le meilleur choix pour la plupart des cas pratiques, offrant un excellent compromis qualité/temps avec un gap moyen de seulement 2% en un temps très raisonnable.

GRASP apporte une diversification utile pour les petites instances mais son surcoût en temps ($\times 20\text{-}30$) n'est pas toujours justifié par le gain de qualité marginal.

L'algorithme exact reste indispensable pour les petites instances nécessitant une optimalité prouvée.

Références

- [1] Applegate, D. L., Bixby, R. E., Chvátal, V., & Cook, W. J. (2006). *The Traveling Salesman Problem : A Computational Study*. Princeton University Press.
- [2] Feo, T. A., & Resende, M. G. (1995). Greedy Randomized Adaptive Search Procedures. *Journal of Global Optimization*, 6(2), 109-133.
- [3] Aarts, E., & Lenstra, J. K. (Eds.). (2003). *Local Search in Combinatorial Optimization*. Princeton University Press.
- [4] Land, A. H., & Doig, A. G. (1960). An Automatic Method of Solving Discrete Programming Problems. *Econometrica*, 497-520.
- [5] Reinelt, G. (1991). TSPLIB—A Traveling Salesman Problem Library. *ORSA Journal on Computing*, 3(4), 376-384.
- [6] Croes, G. A. (1958). A Method for Solving Traveling-Salesman Problems. *Operations Research*, 6(6), 791-812.